

*Едуард БІЛЕЦЬКИЙ,
Юрій ТОЛЧИНСЬКИЙ*

МОДЕЛЮВАННЯ РЕОЛОГІЧНИХ ВЛАСТИВОСТЕЙ В'ЯЗКОПЛАСТИЧНИХ МАТЕРІАЛІВ У ХАРЧОВИХ ТЕХНОЛОГІЯХ

Переважна кількість параметрів в харчових технологіях визначаються станом різноманітних реологічних властивостей матеріалів, що переробляються [1, с. 35]. Зазвичай закон стану матеріалів встановлюється в ході експериментальних досліджень, а його результати враховуються у харчовій та хімічній технологіях. Цей підхід має не тільки безперечну перевагу – тісний зв'язок конкретного матеріалу та моделі його реологічної поведінки, а й недолік – методична складова такої моделі незначна. Проте є інший шлях, який базується на застосуванні деяких основних моделей реологічної поведінки: ступенева, в'язко-пластична моделі тощо [2, с. 78]. При такому підході основна модель використовується як початкова, а результати експери-

© Едуард Білецький, Юрій Толчинський, 2010

ментальних досліджень накладаються на результати розрахунків, основаних на ній. Розбіжності між експериментальними й розрахунковими результатами коригуються за додатковими елементами, що ускладнюють початкову модель [3, с. 26].

Такий підхід є більш універсальним, ніж перший, і частіше використовується дослідниками, що й зумовило застосування його в цій роботі, метою якої є дослідження властивостей моделі в'язкопластичної течії з визначенням границь твердого ядра й швидкості його руху.

Для цього взято модель течії бінгамовської рідини в прямокутному каналі черв'ячної (шнекової) машини. У рамках цієї моделі отримано рівняння течії в прямокутному каналі подовжнього типу з довільним розподілом граничних швидкостей. Ці рівняння мають алгебраїчну природу й відображають деякі основні риси диференціально-алгебраїчної системи рівнянь у напругах для моделі Бінгама.

Рівняння моделі мають вигляд:

$$\frac{(1 - \gamma_i^+)^2}{1 + \kappa^2 \rho_i^+ (1 - \gamma_i^+)} - \frac{(1 + \gamma_i^-)^2}{1 + \kappa^2 \rho_i^- (1 + \gamma_i^-)} = \frac{2\mu(W_i^+ - W_i^-)}{l_i dP / d\zeta_i};$$

$$\frac{\gamma_i^+}{1 + \kappa^2 \rho_i^+ (1 - \gamma_i^+)} - \frac{\gamma_i^-}{1 + \kappa^2 \rho_i^- (1 + \gamma_i^-)} = \frac{\tau_0}{dP / d\zeta_i} \left(\frac{1}{\sqrt{1 + \kappa^2 \rho_i^+ (1 - \gamma_i^+)^2}} + \frac{1}{\sqrt{1 + \kappa^2 \rho_i^- (1 + \gamma_i^-)^2}} \right);$$

$$v_{ki} = \frac{W_i^+ + W_i^-}{2} - \frac{l_i}{2\mu} \frac{\partial P}{\partial \zeta_i} \left[\frac{(1 - \gamma_i^+)^2}{1 + \kappa^2 \rho_i^+ (1 - \gamma_i^+)^2} + \frac{(1 + \gamma_i^-)^2}{1 + \kappa^2 \rho_i^- (1 + \gamma_i^-)^2} \right]; \quad (1)$$

$$v_z = -\frac{l_i}{2\mu} \frac{\partial P}{\partial \zeta_i} \frac{(1 \mp \xi_i)^2}{1 + \kappa^2 \rho_i^\pm (1 \mp \gamma_i^\pm)} \pm \frac{l_i}{\mu} \frac{\partial P}{\partial \zeta_i} \frac{\gamma_i^\pm (1 \mp \xi_i)}{1 + \kappa^2 \rho_i^\pm (1 \mp \gamma_i^\pm)} + W_i^\pm;$$

$$\gamma_i^\pm = \frac{\Gamma_i^\pm}{l_i}, \quad \zeta_i = \frac{z}{l_i},$$

де Γ_i^\pm – границі твердого ядра;

P – подовжній тиск у прямокутному каналі;

$\kappa = h/a$; h – висота каналу; a – ширина каналу;

μ – в'язкість бінгамовської рідини;

τ_0 – поріг плинності бінгамовської рідини;

W_i^\pm – граничні швидкості паралельної пари границь;

v_{ki} – швидкість руху твердого ядра;

v_z – швидкість подовжньої течії бінгамовської рідини.

У формулі (1) індекс i набуває значення x і y , де x і y – поперечні координати в перерізі прямокутного каналу; якщо $i = x$, то $l_i = h$,

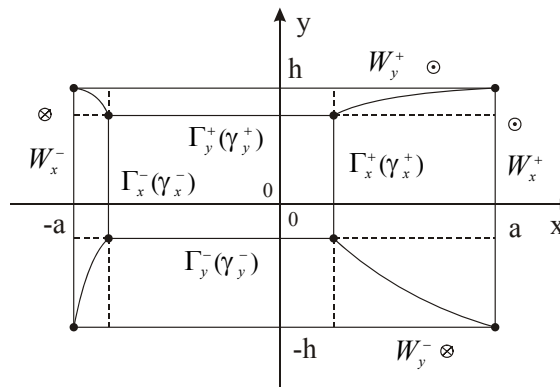
а якщо $i = y$, то $l_i = y$. Тоді W_y^\pm – швидкості границь, розташованих відповідно вище й нижче за ядро, W_x^\pm – швидкості границь, розташованих відповідно справа й зліва від ядра.

Величини ρ_i^\pm визначаються так:

$$\rho_y^+ = \frac{W_x^+ + W_x^- - W_y^+ - v_k}{W_y^+ - v_k}; \quad \rho_x^+ = \frac{W_y^+ + W_y^- - W_x^+ - v_k}{W_x^+ - v_k}; \quad (2)$$

$$\rho_y^- = \frac{W_x^+ + W_x^- - W_y^- - v_k}{W_y^- - v_k}; \quad \rho_x^- = \frac{W_y^+ + W_y^- - W_x^- - v_k}{W_x^- - v_k}.$$

На *рисунку* наведено модель в'язко-пластичної течії в прямокутному каналі черв'ячної машини.



Модель в'язко-пластичної течії в прямокутному каналі черв'ячної машини

Рівняння (1) і (2) є системою рівнянь із великою нелінійністю, рішення якої можна отримати чисельно. Головні особливості моделі також можна з'ясувати в наявному вигляді. Для цього необхідно досліджувати граничні випадки рішень вище за зазначену модель. Дані рівняння мають специфічну властивість за параметром κ – відношенням сторін прямокутника, що лежить у перерізі каналу. Ця властивість полягає в тому, що $\gamma_y^\pm (\kappa \rightarrow 0) = \gamma_x^\pm (\kappa \rightarrow \infty)$; $\gamma_y^\pm (\kappa \rightarrow \infty) = \gamma_x^\pm (\kappa \rightarrow 0)$, тому достатньо дослідити систему рівнянь (1) і (2) тільки для $i = y$ (з таким успіхом можна й для $i = x$). Якщо $\kappa \rightarrow 0$, є тверде ядро, яке має в перерізі смугу, а сам прямокутний канал перетворюється на плоский. Для такого каналу границі твердого ядра описуються рівняннями [3]:

$$\gamma_y^\pm = \frac{1}{2} \frac{\mu(W_y^+ - W_y^-)}{h \tau_0} \frac{\gamma_h}{1 - \gamma_h} \pm \gamma_h; \quad \gamma_h = \frac{\tau_0}{dP/d\zeta_h}; \quad (3)$$

$$\gamma_x^\pm = \frac{1}{2} \frac{\mu(W_x^+ - W_x^-)}{a \tau_0} \frac{\gamma_a}{1 - \gamma_a} \pm \gamma_a; \quad \gamma_a = \frac{\tau_0}{dP/d\zeta_a}.$$

Перше рівняння відноситься до плаского каналу зі сторонами, паралельними осі ox , чому відповідає $\kappa \rightarrow 0$, а друге – до плаского каналу зі сторонами, паралельними осі oy , чому відповідає $\kappa \rightarrow \infty$.

Система рівнянь для $i = y$ і $\kappa \rightarrow 0$ має такий вигляд (після отримання основних доданків за невеликим значенням параметра κ):

$$\frac{1 - \gamma_y^+}{\kappa^2 \rho_y^+} - \frac{1 + \gamma_y^-}{\kappa^2 \rho_y^-} = \frac{2\mu(W_y^+ - W_y^-)}{\kappa^2 a dP/d\zeta_a}; \quad (4)$$

$$\frac{\gamma_y^+}{\kappa^2 \rho_y^+(1 - \gamma_y^+)} - \frac{\gamma_y^-}{\kappa^2 \rho_y^-(1 + \gamma_y^-)} = \frac{\tau_0}{\kappa dP/d\zeta_a} \left(\frac{1}{\kappa \rho_y^+(1 - \gamma_y^+)} - \frac{1}{\kappa \rho_y^-(1 + \gamma_y^-)} \right).$$

У рівняннях (4) зроблено перехід від змінної ζ_h до змінної ζ_a , щоб явно виділити параметр κ , за яким здійснюється граничний перехід. Якщо виконати низку простих перетворень, то від рівнянь (4) можна прийти до таких:

$$\frac{1 - \gamma_y^+}{\rho_y^+} - \frac{1 + \gamma_y^-}{\rho_y^-} = \frac{2\mu}{dP/d\zeta_a} (W_y^+ - W_y^-); \quad (5)$$

$$\frac{1 - \tau_0/(dP/d\zeta_a)}{(\rho_y^+)^2} \frac{\rho_y^-}{1 - \gamma_y^+} + \frac{1 - \tau_0/(dP/d\zeta_a)}{(\rho_y^-)^2} \frac{\rho_y^+}{1 + \gamma_y^-} = \frac{1}{\rho_y^+} + \frac{1}{\rho_y^-}.$$

Рівняння (5) легко вирішити відносно величин $(1 \mp \gamma_y^\pm)/\rho_y^\pm$, оскільки вони подібні до квадратного рівняння. Матимемо рішення:

$$\begin{aligned} \frac{1 - \gamma_y^+}{\rho_y^+} &= \frac{b^+ + b^- - \frac{2\mu(W_y^+ - W_y^-)}{a(dP/d\zeta_a)}}{2} + \\ &+ \sqrt{\left(\frac{b^+ + b^- - \frac{2\mu(W_y^+ - W_y^-)}{a(dP/d\zeta_a)}}{2} \right)^2 + \frac{b^- 2\mu(W_y^+ - W_y^-)}{a(dP/d\zeta_a)}}, \quad (6) \\ \frac{1 + \gamma_y^-}{\rho_y^-} &= \frac{b^+ + b^- + \frac{2\mu(W_y^+ - W_y^-)}{a(dP/d\zeta_a)}}{2} + \\ &+ \sqrt{\left(\frac{b^+ + b^- + \frac{2\mu(W_y^+ - W_y^-)}{a(dP/d\zeta_a)}}{2} \right)^2 + \frac{b^- 2\mu(W_y^+ - W_y^-)}{a(dP/d\zeta_a)}}; \end{aligned}$$

$$b^+ = \frac{\rho_y^- \tau_0 / (dP / d\zeta_a)}{\rho_y^+ (\rho_y^+ + \rho_y^-)}; \quad b^- = \frac{\rho_y^+ \tau_0 / (dP / d\zeta_a)}{\rho_y^- (\rho_y^+ + \rho_y^-)}.$$

Формули (5) і (6) дають граничні значення рішень системи рівнянь (2) і (3) за умови, що відома величина v_k . Залишаючи цю обставину поки без уваги, необхідно звернутися до загального вигляду системи рівнянь (2) і (3), звідки виходить, що точні рішення цих рівнянь залежать тільки від величини κ^2 , якщо не враховувати залежності від інших параметрів. Це означає, що рішення рівнянь (2) і (3) повинно задовольняти загальним умовам:

$$\lim_{\kappa \rightarrow 0} \gamma_y^\pm(\kappa^2) = \gamma_y^\pm(\kappa = 0); \quad \gamma_y^\pm(\kappa) = \gamma_y^\pm(\kappa = 0)f(\kappa^2) + \gamma_y^\pm(\kappa \rightarrow \infty)g(\kappa^2);$$

$$\lim_{\kappa \rightarrow \infty} \gamma_y^\pm(\kappa^2) = \gamma_y^\pm(\kappa = \infty); \quad \lim_{\kappa \rightarrow 0} f(\kappa^2) = 1; \quad \lim_{\kappa \rightarrow \infty} f(\kappa^2) = 0; \quad (7)$$

$$\lim_{\kappa \rightarrow 0} g(\kappa^2) = 0; \quad \lim_{\kappa \rightarrow \infty} g(\kappa^2) = 1.$$

Цим умовам задовольняє безліч функцій f і g , серед яких простими є функції $f=1/(1+\kappa^2)$ і $g=\kappa^2/(1+\kappa^2)$, і загальний вираз для $\gamma_y^\pm(\kappa)$ можна записати таким чином:

$$\begin{aligned} \gamma_y^\pm = & \gamma_y^\pm \left(\kappa = 0, \frac{\tau_0}{dP/d\zeta_h}, \frac{\mu(W_y^+ - W_y^-)}{h dP/d\zeta_h} \right) \frac{1}{1 + \kappa^2} + \\ & + \gamma_y^\pm \left(\kappa = \infty, \frac{\tau_0}{dP/d\zeta_a}, \frac{\mu(W_y^+ - W_y^-)}{a dP/d\zeta_a} \right) \frac{\kappa^2}{1 + \kappa^2}. \end{aligned} \quad (8)$$

Ураховуючи зроблене вище зауваження відносно зв'язку граничних значень величин γ_y^\pm і γ_x^\pm , можна для останніх величин записати готовий результат:

$$\begin{aligned} \gamma_x^\pm = & \gamma_x^\pm \left(\kappa = 0, \frac{\tau_0}{dP/d\zeta_h}, \frac{\mu(W_x^+ - W_x^-)}{h dP/d\zeta_h} \right) \frac{1}{1 + \kappa^2} + \\ & + \gamma_x^\pm \left(\kappa = \infty, \frac{\tau_0}{dP/d\zeta_a}, \frac{\mu(W_x^+ - W_x^-)}{a dP/d\zeta_a} \right) \frac{\kappa^2}{1 + \kappa^2}. \end{aligned} \quad (9)$$

Для визначення швидкості руху твердого ядра v_k необхідно враховувати, що у рамках моделі, яка визначається рівняннями (2) і (3), є два вирази – один через границі ядра γ_y^\pm , інший – через границі

ядра γ_x^\pm . Саме тому обидва вирази повинні приводити до одного й того ж результату. Так, можна зробити висновок: v_k має вигляд такої суми:

$$v_k = v_{kx} / 2 + v_{ky} / 2. \quad (10)$$

Ось чому в рівняннях (1) v_{ki} слід підставляти вирази γ_y^\pm і γ_x^\pm за (9). Вираз (10) з урахуванням останнього зауваження є нелінійним рівнянням відносно швидкості v_k , оскільки ця швидкість входить до величин ρ_x^\pm і ρ_y^\pm . Через велику складність та інформативність виразів (9) і (10) можна уникнути проблеми рішення цього рівняння, сформулювавши для величини v_k гіпотезу. Використовуючи цю гіпотезу як деяке наближення, можна вичислити швидкість v_k . Спосіб вибору відповідної гіпотези не єдиний. Можливо вибрати в якості такої швидкості середню швидкість усіх границь. Як вагові множники можна використовувати частку периметра прямокутника для цієї швидкості відносно усього периметра прямокутника. Інший спосіб полягає в тому, щоб як швидкість v_k взяти величину, пропорційну максимальній швидкості течії Пуазейля в прямокутному каналі. Множником може виступати відношення швидкості твердого ядра Пуазейлевої течії бінгамовської рідини в круглій трубі до максимального значення такої ж течії в аналогічній трубі, але ньютонівської рідини. Перший спосіб краще підходить для течій, в яких течія рухомих границь значно перевищує різницю тисків на кінцях каналу, а другий – для течій з переважаючим впливом різниці тисків.

Вираз (10) можна визначити точніше, коли як граничні вирази використовувати не лише швидкості v_z від $\gamma_i^\pm (\kappa=0)$ і $\gamma_i^\pm (\kappa=\infty)$, а й наступні доданки в розкладанні системи рівнянь (1) для γ_i^\pm . Оскільки рішення залежить від κ^2 , то це мають бути розкладання за ступенями κ^2 . Якщо для визначеності величини γ_y^\pm представити у вигляді рядів $\gamma_y^\pm(\kappa) = \gamma_y^\pm(\kappa=0) + \kappa^2 \gamma_{y2}^\pm + \dots$, то система рівнянь для другого наближення за κ^2 має вигляд:

$$\begin{aligned} \gamma_{y2}^+ - \gamma_{y2}^- &= \frac{\gamma_h}{2} [(\rho_{y0}^+)^2 (1 - \gamma_{y0}^+)^2 + (\rho_{y0}^-)^2 (1 + \gamma_{y0}^-)] + \gamma_{y0}^+ (1 - \gamma_{y0}^+)^2 \rho_{y0}^+ - \gamma_{y0}^- (1 + \gamma_{y0}^-)^2 \rho_{y0}^-; \\ \gamma_{y2}^+ (1 - \gamma_{y0}^+) + \gamma_{y2}^- (1 + \gamma_{y0}^-) &= \frac{(1 - \gamma_{y0}^+)^2 \rho_{y0}^+ (1 + \gamma_{y0}^-)^2 \rho_{y0}^-}{2}, \end{aligned} \quad (11)$$

де γ_{y0}^\pm – значення величин $\gamma_y^\pm (\kappa=0)$; ρ_{y0}^\pm – значення величин $\rho_y^\pm (\kappa=0)$.

Рівняння (11) є системою двох лінійних рівнянь з відомими коефіцієнтами й правою частиною, які сформовані відомими вели-

чинами γ_{y0}^{\pm} . Результат її рішення, якщо праві частини (11) позначити через $f_1(\gamma_{y0}^{\pm})$ і $f_2(\gamma_{y0}^{\pm})$, має такий вигляд:

$$\gamma_{y2}^+ = \frac{f_1(1 + \gamma_{y0}^-) - f_2}{\gamma_{y0}^+ + \gamma_{y0}^-}; \quad \gamma_{y2}^- = \frac{f_2 - f_1(1 - \gamma_{y0}^+)}{\gamma_{y2}^+ + \gamma_{y2}^-}. \quad (12)$$

При значенні параметра $\kappa \rightarrow \infty$ також є можливість розкласти величини γ_y^{\pm} в ряд за малим параметром, який дорівнює $1/\kappa^2$: $\gamma_y^{\pm}(\kappa \rightarrow \infty) = \gamma_{y\infty}^{\pm} + (1/\kappa^2)\tilde{\gamma}_{y2}^{\pm} + \dots$. Якщо такі розкладання підставити в рівняння (1), то для других наближень за невеликим значенням параметра $1/\kappa^2$ виходять рівняння:

$$\frac{\tilde{\gamma}_{y2}^+}{\rho_{y0}^+} + \frac{\tilde{\gamma}_{y2}^-}{\rho_{y0}^-} = g_1; \quad \tilde{\gamma}_{2y}^+ \frac{(1 - 2\gamma_{y0}^+)}{\rho_{y0}^+(1 - \gamma_{y0}^+)^2} - \tilde{\gamma}_{2y}^- \frac{(1 + 2\gamma_{y0}^-)}{\rho_{y0}^-(1 + \gamma_{y0}^-)^2} = g_2; \quad (13)$$

$$g_1 = \frac{2 + \gamma_{y0}^-}{\rho_{y0}^-} - \frac{2 + \gamma_{y0}^+}{\rho_{y0}^+}; \quad g_2 = g_2(\gamma_{y0}^{\pm}, \rho_{y0}^{\pm}, \gamma_h).$$

Результат рішення системи рівнянь (13) можна записати таким чином:

$$\tilde{\gamma}_{2y}^+ = \rho_{y0}^+(1 - \gamma_{y0}^+)^2 \frac{[g_1(1 + 2\gamma_{y0}^-) - g_2(1 + \gamma_{y0}^-)^2]}{(1 + 2\gamma_{y0}^-)(1 - \gamma_{y0}^+)^2 - (1 - 2\gamma_{y0}^+)(1 + \gamma_{y0}^-)}; \quad (14)$$

$$\tilde{\gamma}_{2y}^- = \rho_{y0}^-(1 + \gamma_{y0}^-)^2 \frac{[g_2(1 - \gamma_{y0}^+)^2 - g_1(1 - 2\gamma_{y0}^+)]}{(1 + 2\gamma_{y0}^-)(1 - \gamma_{y0}^+)^2 - (1 - 2\gamma_{y0}^+)(1 + \gamma_{y0}^-)}.$$

Тепер вирази (13) і (14) слід додати у формулу (8) і таким чином відобразити внесок других наближень так, що ця формула матиме вигляд:

$$\gamma_y^{\pm} = (\gamma_{y0}^{\pm} + \kappa^2 \gamma_{y2}^{\pm}) \frac{1}{1 + \kappa^2} + (\gamma_{y\infty}^{\pm} + (1/\kappa^2)\tilde{\gamma}_{y2}^{\pm}) \frac{\kappa^2}{1 + \kappa^2}. \quad (15)$$

Розкладання для величин γ_y^{\pm} можуть бути продовжені у вигляді рядів за κ і $1/\kappa^2$ поблизу $\kappa = 0$ та $\kappa = \infty$, але при цьому громіздкість обчислень сильно зростає. Обчислення складових аналогічних розкладань для величин γ_x^{\pm} не потрібно завдяки наявності зв'язків між ними й величинами γ_y^{\pm} , відображених у формулах (7). Для величин γ_x^{\pm} справедливе таке ж представлення, як (15) з точністю до заміни індексу у на індекс x .

Важливою характеристикою в'язко-пластичної течії є витрата. Для її обчислення треба визначити області інтегрування в прямокутнику поперечного перерізу каналу, які відповідають різним виразам для подовжньої швидкості течії. Вирази для швидкостей, наведені у рівняннях (1), означають, що швидкість v_z задано переривчасто. Отже, виникає питання: як розташовані границі областей – елементів розбиття прямокутника (див. *рисунок*)? Для знаходження цих границь необхідно використовувати умову безперервності швидкості. За наявності двох представлень для швидкості v_z це означає, що повинні існувати лінії, які починаються й закінчуються у вершинах ядра й прямокутника, що лежать в перерізі каналу. Всього таких ліній – чотири. Рівняння цих ліній задають зв'язок між змінними ξ_x і ξ_y . Через те, що вирази (1) для v_z є квадратні тричлени за відповідними змінними. Лінії, які визначають із умов безперервності, обов'язково проходять через вершини ядра й прямокутника тому, що представлення для швидкості v_z задовольняють граничним умовам на контурах ядра та прямокутника. Рівняння ліній скорочено записуються так: $v_z^+(\xi_y) = v_z^+(\xi_x)$; $v_z^+(\xi_y) = v_z^-(\xi_x)$; $v_z^-(\xi_y) = v_z^+(\xi_x)$; $v_z^-(\xi_y) = v_z^-(\xi_x)$. У них верхні знаки "плюс" і "мінус" відповідають верхнім і нижнім знакам у рівняннях (1). Ураховуючи, що $v_z^\pm(\xi_y)$ і $v_z^\pm(\xi_x)$ є квадратичними функціями, залежності ξ_y від ξ_x , тобто рівняння ліній, що з'єднують вершини ядра й прямокутника, є квадратні рівняння, рішення для яких записуються таким чином:

$$1 \mp \xi_y = \mp \gamma_y^\pm \pm \sqrt{(\gamma_y^\pm)^2 + 2[1 + \kappa^2 \rho_y^\pm (1 \mp \gamma_y^\pm)](W_x^\pm - W_y^\pm) + [1 + \kappa^2 \rho_y^\pm (1 \mp \gamma_y^\pm) / \kappa^2 + \rho_x^\pm (1 \mp \gamma_x^\pm)]} \times [(1 \mp \xi_x)^2 \pm 2\gamma_x^\pm (1 \mp \xi_x)]. \quad (16)$$

Рівняння (16) відноситься до усіх чотирьох ліній одночасно.

Маючи рівняння ліній, можна вичислити витрату як інтеграл за чотирма областями, обмеженими лініями $x = \pm a$, $y = \pm h$, $x = \gamma_x^\pm$, $y = \gamma_y^\pm$, $\xi_y(\xi_x)$. Загальна формула для витрати \dot{V} в'язко-пластичної течії є сумою таких інтегралів:

$$\begin{aligned} \frac{\dot{V}}{ah} = & v_k(\gamma_x^+ - \gamma_x^-)(\gamma_y^+ - \gamma_y^-) + (\gamma_x^+ - \gamma_x^-) \left[\int_{\gamma_y^+}^1 v_y^+ d\xi_y + \int_{-1}^{\gamma_y^-} v_y^- d\xi_y \right] + \\ & + (\gamma_x^+ - \gamma_x^-) \left[\int_{\gamma_x^+}^1 v_x^+ d\xi_x + \int_{-1}^{\gamma_x^-} v_x^- d\xi_x \right] + M, \end{aligned} \quad (17)$$

де через M позначена сума восьми інтегралів за малими прямокутниками, для яких лінії $\xi_y(\xi_x)$ є криволінійними діагоналями (див. *рисунок*).

Ці інтеграли мають будову $\int v_y^\pm d\xi_y \int dx$ і $\int v_x^\pm d\xi_x \int dy$, а як границі інтегрування виступають інтервали $[\xi_y^\pm(\xi_x^\pm), \pm 1]$, $[\gamma_y^\pm, \pm 1]$ і $[\gamma_x^\pm, \pm 1]$, що розставляються в порядку відповідно до границь малих прямокутників. Перше інтегрування в цих інтегралах виконується без утруднень, а друге – дуже складно й може вирішуватися чисельно. Для завдань інженерної практики криволінійні діагоналі можна замінити прямолінійними. У цьому випадку інтегрування виконується без утруднень.

Ґрунтуючись на представленні (1) для швидкості v_z й поділу прямокутника в перерізі каналу, нескладно вичислити величину енергії дисипації, яка приходить на один метр уздовж довжини каналу. Для цього треба вичислити похідні за координатами x і y від швидкості v_z , піднести результати до другого ступеня, скласти й проінтегрувати за площею прямокутника. Виконавши прості перетворення для енергії дисипації \dot{e} на один метр довжини, маємо такий інтеграл:

$$\frac{2\dot{e}}{\mu} = \iint d\xi_x d\xi_y \left\{ \frac{R_y^2}{\kappa} [(1-\gamma_y^\pm)^2 + \xi_y^2 \mp 2(1-\gamma_y^\pm)\xi_y] + \kappa R_x^2 [(1-\gamma_x^\pm)^2 + \xi_x^2 \mp 2(1-\gamma_x^\pm)\xi_x] \right\}; \quad (18)$$

$$R_y = \frac{h^2}{\mu} \frac{dP}{dz} \frac{1}{1 + \kappa^2 \rho_y^\pm (1 \mp \gamma_y^\pm)}; \quad R_x = \frac{a^2}{\mu} \frac{dP}{dz} \frac{1}{\kappa^2 + \rho_x^\pm (1 \mp \gamma_x^\pm)^2}.$$

Із області інтегрування виключається ядро течії. Результати інтегрування за (18) представляють суму чотирьох і восьми доданків від інтегрування за кутовими прямокутниками з криволінійними діагоналями. Таким чином, загальний результат записується так:

$$\frac{2\dot{e}}{\mu} = \frac{R_y^2}{3\kappa} (2 + \gamma_y^{+3} - \gamma_y^{-3})(\gamma_x^+ - \gamma_x^-) + \frac{R_x^2}{3} \kappa (2 + \gamma_x^{+3} - \gamma_x^{-3})(\gamma_y^+ - \gamma_y^-) + N, \quad (19)$$

де N – сума восьми доданків – результатів інтегрування (17) в інтервалах,

вказаних вище. Самі доданки є інтегралами $\int \left(\frac{\partial v_y^\pm}{\partial \xi_y} \right)^2 d\xi_y \int dx$, $\int \left(\frac{\partial v_x^\pm}{\partial \xi_x} \right)^2 d\xi_x \int dy$.

Результати цієї роботи свідчать про те, що викладена модель дає змогу отримати кінцеві аналітичні вирази для границь ядра, швидкості ядра й поля течії бінгамовської рідини в прямокутному каналі, а також вичислити величини витрат та енергії дисипації в'язко-пластичної течії. У рамках цієї моделі можливі уточнюючі процедури. Рівняння моделі допускають різні види спрощень, які можуть бути трансформовані в інженерні методики. Отримані результати використовують для розрахунку робочих камер черв'ячних машин, оскільки ці камери представляють собою в дещо спрощеному варіанті послідовно з'єднані

канали. Ділянки перехідної течії на границі, що розділяє сусідні канали, невиправдано малі, що дає змогу з великою точністю вважати течію в прямокутних каналах єдиним видом течії. У різних каналах змінюються тільки a , h , κ і W_x^\pm , W_y^\pm , dP/dz , причому останні є невідомими, які необхідно визначити. Використовуючи принципи безперервності потоку й тиску, за допомогою рівнянь моделі можна знайти тиск і витрату як функції швидкості обертання черв'яка й геометрії каналів.

СПИСОК ВИКОРИСТАНИХ ДЖЕРЕЛ

1. Райнер М. Реология / М. Райнер. — М. : Наука ; ГРФМЛ, 1965. — 223 с.
2. Фрейденталь А. Математические теории неупругой сплошной среды / А. Фрейденталь, Х. Гейрингер. — М. : ГИТТЛ, 1962. — 432 с.
3. Кутателадзе С. С. Анализ подобия в теплофизике / с. с. Кутателадзе. — Новосибирск : Наука. Сиб. отд., 1982. — 280 с.